

# 配方和工艺对熔融法天然橡胶接枝 马来酸酐结构的影响

邹梦娇,陈福林,龚湛林,岑 兰,吴泽波,周彦豪

(广东工业大学 材料与能源学院,广东 广州 510006)

**摘要:**研究配方和工艺对熔融法天然橡胶接枝马来酸酐(NR-g-MAH)接枝率和接枝效率的影响。结果表明:加入1,2-聚丁二烯(1,2-PB)对提高NR-g-MAH接枝率具有明显效果;马来酸酐用量为5份、1,2-PB用量为6份、引发剂DCP用量为0.2份、反应温度为135℃、转子转速为50 r·min<sup>-1</sup>、反应时间为4 min时,NR-g-MAH的接枝率和接枝效率较高。

**关键词:**天然橡胶接枝马来酸酐;熔融接枝;1,2-聚丁二烯;接枝率

中图分类号:TQ332.6;TQ330.38

文献标志码:A

文章编号:1000-890X(2014)07-0408-04

天然橡胶(NR)具有优良的弹性、粘弹性和电绝缘性,但耐油性、自粘性和互粘性差。为了拓宽其应用范围,往往需要对NR进行改性,常用的改性方法有接枝、环氧化、氯化等。NR通过与马来酸酐(MAH)的接枝反应引入强极性基团,获得强极性和反应性,成为一种多功能的高分子界面相容剂及填料填充聚合物的偶联剂,具有广泛的应用前景。例如,加入NR接枝MAH(NR-g-MAH)能改善NR与壳聚糖的相容性,使共混物的电绝缘性能得到有效提高<sup>[1]</sup>;以NR-g-MAH作为NR/尼龙短纤维复合材料<sup>[2]</sup>和NR/剑麻纤维复合材料<sup>[3]</sup>的相容剂可增大其界面粘合强度,一定程度地提高复合材料的力学性能。提高NR-g-MAH的接枝率是提高其相容效果的关键,增大接枝单体用量<sup>[4]</sup>、改变引发剂种类和用量<sup>[2,5]</sup>、改变聚合物聚集状态<sup>[6-7]</sup>和加入第三接枝单体<sup>[8-10]</sup>等方法均可提高NR-g-MAH的接枝率。

1,2-聚丁二烯(1,2-PB)具有优异的耐寒、回弹、低生热、耐老化及抗湿滑性能,与NR相容性良好。其分子链上的烯丙基氢比较活泼,易与MAH发生接枝反应<sup>[11-12]</sup>。有研究表明,通过溶液接枝法可制备接枝率高达17.5%的MAH化低相对分子质量聚丁二烯<sup>[11]</sup>。因此,在熔融接枝

反应中加入适量1,2-PB作为第三单体,有可能减少副反应,以得到高接枝率NR-g-MAH。

本工作研究1,2-PB和MAH用量及反应工艺条件对NR-g-MAH接枝率和接枝效率的影响。

## 1 实验

### 1.1 主要原材料

NR(3#标准胶)和1,2-聚丁二烯(数均相对分子质量为3 000 g·mol<sup>-1</sup>),广东信力科技有限公司提供;过氧化二异丙苯(DCP),阿拉丁试剂(上海)有限公司产品。

### 1.2 NR-g-MAH的制备和提纯

将NR加入到xSS-300型转矩流变仪中塑炼2 min,然后加入MAH、1,2-PB和引发剂DCP混合物,反应4 min,通过分别改变MAH、1,2-PB和引发剂DCP用量以及转子转速和反应温度,得到不同接枝产物。

将接枝产物和二甲苯放入烧瓶加热至完全溶解,趁热洗涤数次,然后用丙酮索氏提取24 h,除去未反应的引发剂DCP和MAH,提纯后产物于真空干燥箱中80℃干燥10 h,得纯化接枝物。

### 1.3 分析与测试

#### 1.3.1 傅里叶转换红外光谱(FTIR)分析

采用美国Nicolet公司生产的MAGNA-IR550型红外光谱仪进行测定。取少量纯化产物压片,进行表面衰减全反射测试。

**作者简介:**邹梦娇(1987—),女,湖南衡阳人,广东工业大学硕士,主要从事聚合物改性研究。

### 1.3.2 接枝率和接枝效率测定

用电子天平准确称取 0.2 g 纯化接枝物, 完全溶解于二甲苯中, 然后加入过量的浓度为 0.1 mol·L<sup>-1</sup> 的氢氧化钾/乙醇溶液进行皂化回流反应 1 h, 加入几滴酚酞指示剂, 然后用 0.1 mol·L<sup>-1</sup> 的乙酸/二甲苯溶液趁热滴定。

NR-g-MAH 的接枝率( $G_y$ )计算式为

$$G_y = \frac{C_1 V_1 - C_2 V_2}{2W} \times 98 \times 10^{-3} \times 100\%$$

式中  $W$ ——接枝物中 MAH 质量, g;

$C_1$ ——氢氧化钾/乙醇溶液浓度, mol·L<sup>-1</sup>;

$C_2$ ——乙酸/二甲苯溶液浓度, mol·L<sup>-1</sup>;

$V_1$ ——氢氧化钾溶液滴定消耗体积, mL;

$V_2$ ——乙酸/二甲苯溶液反滴定消耗体积, mL。

接枝效率( $G_e$ )计算式为

$$G_e = \frac{m_1}{m_1 + m_2} \times 100\%$$

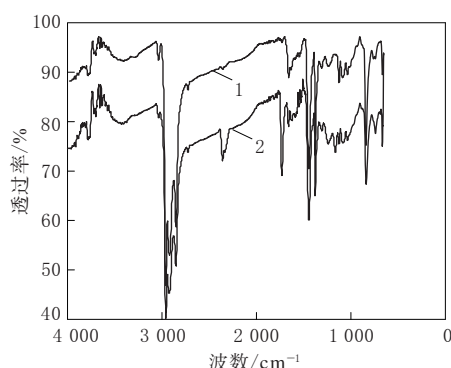
式中  $m_1$ ——接枝的 MAH 质量, g;

$m_2$ ——未接枝的 MAH 质量, g。

## 2 结果与讨论

### 2.1 FTIR 分析

NR-g-MAH 的 FTIR 谱见图 1。



1—NR; 2—NR-g-MAH。配方: 1,2-PB 6, MAH 3, 引发剂 DCP 0.2; 反应温度 145 ℃, 转子转速 50 r·min<sup>-1</sup>。

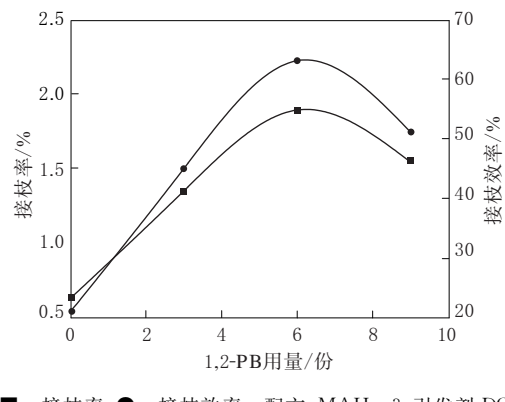
图 1 NR-g-MAH 的 FTIR 谱

从图 1 可见, MAH 单体的特征峰(1 592 和 1 060 cm<sup>-1</sup>)并未出现, 据此可判断未反应的 MAH 单体已除尽。聚马来酸酐在 1 790 cm<sup>-1</sup>附近会出现 2 个重叠的吸收峰<sup>[13]</sup>, 图 1 未出现此

峰, 说明提纯后 MAH 均聚物已除尽。1 730 cm<sup>-1</sup>处出现的 MAH 羧基特征峰表明 MAH 已成功接枝到 NR 上。

### 2.2 1,2-PB 用量对接枝率和接枝效率的影响

1,2-PB 用量对 NR-g-MAH 接枝率和接枝效率的影响见图 2。



■—接枝率; ●—接枝效率。配方: MAH 3, 引发剂 DCP 0.2; 反应温度 145 ℃, 转子转速 50 r·min<sup>-1</sup>。

图 2 1,2-PB 用量对接枝率和接枝效率的影响

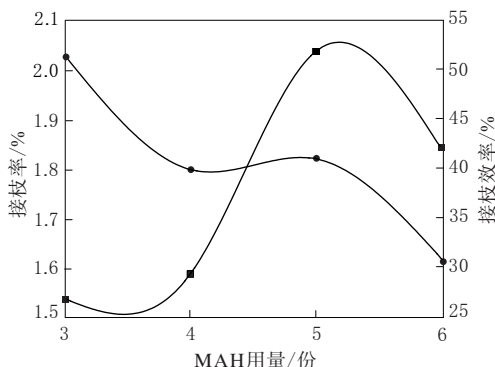
从图 2 可见, 1,2-PB 对 NR-g-MAH 接枝率和接枝效率影响明显。当 1,2-PB 用量为 6 份时, 有最大接枝率, 为 1.89%, 比未添加 1,2-PB 时提高了近 3 倍。这是由于 1,2-PB 分子链上的烯丙基氢比较活泼, 容易与 MAH 进行接枝反应<sup>[11-12]</sup>, 生成 1,2-PB-g-MAH, 1,2-PB-g-MAH 再与 NR 进行接枝或交联反应<sup>[8-9]</sup>。

另外, 1,2-PB 的加入可能减少了接枝副反应的产生, 从而大幅提高了 NR-g-MAH 的接枝率。过氧化物分解产生的自由基在引发 NR 大分子的同时也引发 MAH 单体, 激发态的 MAH 会从 NR 大分子链上夺取氢从而导致  $\beta$  键断裂<sup>[14]</sup>。而添加 1,2-PB 作为给电子基团, 可以进攻激发态的 MAH, 抑制大分子自由基的  $\beta$  键断裂, 以降低橡胶大分子降解程度<sup>[10]</sup>。

### 2.3 MAH 用量对接枝率和接枝效率的影响

熔融接枝反应属自由基反应, 在该反应体系中, 高分子自由基扩散比小分子自由基扩散运动剧烈, 因此该反应更多地取决于小分子 MAH 自由基的扩散。MAH 用量对 NR-g-MAH 接枝率和接枝效率的影响见图 3。

从图 3 可见, NR-g-MAH 接枝率随 MAH 用



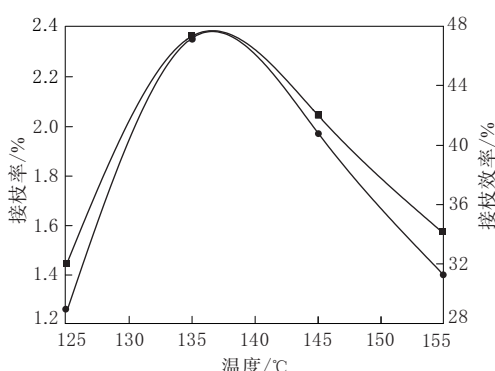
■, ●注同图 2。配方: 1,2-PB 6, 引发剂 DCP 0.2; 反应温度 145 ℃, 转子转速 50 r·min<sup>-1</sup>。

### 图 3 MAH 用量对接枝率和接枝效率的影响

量的增大先提高后降低, 这是由于 MAH 增多, 更多的 MAH 能获得自由基并与橡胶分子链上的自由基反应, 提高了接枝率; 但在引发剂用量一定的情况下, 过多的 MAH 会消耗大量自由基, 使大分子自由基数量减小, 同时由于 MAH 具有对称性结构, 空间位阻大, 自由基双基终止而失去活性<sup>[15]</sup>, 使得实际能够接枝到 NR 上的 MAH 减少。因此当 MAH 用量大于 5 份后, NR-g-MAH 的接枝率随着 MAH 用量的增大而降低。

### 2.4 反应温度对接枝率和接枝效率的影响

反应温度对 NR-g-MAH 接枝率和接枝效率的影响见图 4。



■, ●注同图 2。配方: 1,2-PB 6, MAH 5, 引发剂 DCP 0.2; 转子转速 50 r·min<sup>-1</sup>。

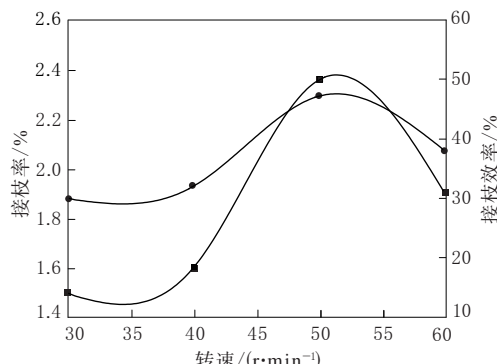
### 图 4 反应温度对接枝率和接枝效率的影响

从图 4 可见, 在原料配比、转子转速和反应时间一定, 反应温度在 125~155 ℃ 范围内时, 随着反应温度的升高, 产物的接枝率和接枝效率出现一个最大值。这主要是由于反应温度较低时, 引

发剂的分解半衰期较长, 在一定反应时间内分解不完全, 在 NR 大分子链上形成的活性点较少, 因此接枝到单体的量较小; 随着反应温度的升高, 引发剂分解半衰期缩短, 在较短时间内便可分解产生大量活性自由基, 加之温度升高使熔体粘度降低, 链段运动更加自由, 使得 NR 大分子链自由基与 MAH 间反应几率增大, 接枝率迅速提高<sup>[16]</sup>。但反应温度过高时, 引发剂 DCP 分解过快, 会有相当一部分初级自由基来不及进攻 NR 大分子即消亡, 接枝率反而下降。本试验条件下, 反应温度在 130~140 ℃ 比较合适。

### 2.5 转子转速对接枝率和接枝效率的影响

转子转速对 NR-g-MAH 接枝率和接枝效率的影响见图 5。



■, ●注同图 2。配方: 1,2-PB 6, MAH 5, 引发剂 DCP 0.2; 反应温度 135 ℃。

### 图 5 转子转速对接枝率和接枝效率的影响

在原料配比、反应温度和反应时间一定时, 转子转速增大, 橡胶分子链断裂增多, 大分子自由基间及大分子自由基与 MAH 单体碰撞几率均提高, 因此反应产物接枝率和接枝效率先增大。但大分子自由基数目主要取决于引发剂 DCP 用量, 当引发剂 DCP 和 MAH 单体用量一定时, 能够接枝到 NR 大分子上的 MAH 量有限, 转子转速再继续提高, 对提高接枝率和接枝效率作用不大, 且转子转速增大, NR 受到剪切作用增强, 其降解和交联程度增大, 从而导致接枝率和接枝效率下降。本试验条件下转子转速选 50 r·min<sup>-1</sup> 较合适。

## 3 结论

(1) 随着 1,2-PB 和 MAH 用量及反应温度和

转子转速的增大, NR-g-MAH 接枝率先增大后减小; 1,2-PB 的加入能够明显提高 NR-g-MAH 的接枝率和接枝效率。

(2) MAH 用量为 5 份、1,2-PB 用量为 6 份、引发剂 DCP 用量为 0.2 份、反应温度为 135 ℃、转子转速为 50  $r \cdot min^{-1}$ 、反应时间为 4 min 时, 熔融法 NR-g-MAH 接枝率和接枝效率较高。

## 参考文献:

- [1] Jobish Johns, Charoen Nakason. Dielectric Properties of Natural Rubber/Chitosan Blends: Effects of Blend Ratio and Compatibilization[J]. Journal of Non-crystalline Solids, 2011, 357(7):1816-1821.
- [2] 董智贤, 周彦豪. 马来酸酐接枝天然橡胶的制备及应用研究[J]. 弹性体, 2010, 20(2):10-15.
- [3] Wongsorat Wittawat, Suppakarn Nitinat, Jarukumjorn Kasama. Sisal Fiber/Natural Rubber Composites: Effect of Fiber Content and Interfacial Modification[J]. Advanced Materials Research, 2012, 410:63-66.
- [4] Nakason C, Saiwaree S, Tatum S, et al. Rheological, Thermal and Morphological Properties of Maleated Natural Rubber and Its Reactive Blending with Poly(Methyl Methacrylate)[J]. Polymer Testing, 2006, 25(5):656-667.
- [5] Jazani O M, Azar A A. Blends of Poly(Ethylene Terephthalate) Bottle Waste with Modified Styrene Butadiene Rubber through Reactive Mixing[J]. Journal of Applied Polymer Science, 2006, 102(2):1615-1623.
- [6] 董智贤, 贾德民, 周彦豪, 等. 马来酸酐改性天然胶乳的制备及应用[J]. 合成橡胶工业, 2005, 28(3):200-204.
- [7] Vikram T, Nando G B. Synthesis and Characterization of Car-
- danol-grafted Natural Rubber——The Solution Technique [J]. Journal of Applied Polymer Science, 2007, 105(3):1280-1288.
- [8] Lei C H, Chen D H, Wu B, et al. Melt-Grafting Mechanism Study of Maleic Anhydride onto Polypropylene with 1-Decene as the Second Monomer[J]. Journal of Applied Polymer Science, 2011, 121(6):3724-3732.
- [9] Lei C H, Li S L, Chen D H, et al. Melt Grafting of Maleic Anhydride onto Polypropylene with 1-Decene as a Second Monomer[J]. Journal of Applied Polymer Science, 2010, 119(1):102-110.
- [10] Saelao J, Phinyocheep P. Influence of Styrene on Grafting Efficiency of Maleic Anhydride onto Natural Rubber[J]. Journal of Applied Polymer Science, 2005, 95(1):28-38.
- [11] Tai Y L, Miao J B, Qian J S, et al. An Effective Way to Stabilize Silicon Nitride Nanoparticles Dispersed in Rubber Matrix by a One-step Process[J]. Materials Chemistry and Physics, 2008, 112(2):659-667.
- [12] 倪红波, 李旭东, 黄宝琛, 等. 低相对分子质量反式聚丁二烯接枝马来酸酐的研究[J]. 弹性体, 2004, 14(5):11-15.
- [13] de Roover B, Sclavons M, Carlier V, et al. Molecular Characterization of Maleic Anhydride Functionalized Polypropylene[J]. Polym. Sci. Part A. Polym. Chem., 1995, 33(5):829-842.
- [14] Machado A V, Covas J A, Vanduin M. Effect of Polyolefin Structure on Maleic Anhydride Grafting[J]. Polymer, 2001, 42(8):3649-3655.
- [15] 陈立军, 陈丽琼, 张欣宇, 等. 马来酸酐接枝聚丙烯的方法及其发展[J]. 合成树脂及塑料, 2006, 23(6):68-71.
- [16] Li Y, Xie X M, Guo B H. Study on Styrene as Sisted Melt Free Radical Grafting of Maleic Anhydride onto Polypropylene[J]. Polymer, 2001, 42(8):3419-3425.

收稿日期: 2014-02-24

## Influence of Formulation and Process on the Structure of Maleic Anhydride Grafted NR Prepared by Melt Grafting Method

ZOU Meng-Jiao, CHEN Fu-lin, GONG Zhan-lin, CEN Lan, WU Ze-bo, ZHOU Yan-hao

(Guangdong University of Technology, Guangzhou 510006, China)

**Abstract:** The influence of formula variables and process parameters on the grafting ratio and grafting efficiency of maleic anhydride grafted NR(NR-g-MAH) by melt grafting method was investigated. The results showed that the grafting ratio of NR-g-MAH was improved significantly by adding 1,2-PB. The optimized formulation and process were as follows: the addition level of MAH was 5 phr, 1,2-PB was 6 phr, initiator DCP was 0.2 phr, reaction temperature was 135 ℃, rotor speed was 50  $r \cdot min^{-1}$  and reaction time was 4 min.

**Key words:** NR-g-maleic anhydride; melt grafting; 1,2-PB; grafting ratio